

Masterpraktikum Scientific Computing

High-Performance Computing

Thomas Auckenthaler
Wolfgang Eckhardt
Prof. Dr. Michael Bader

Technische Universität München, Germany



Outline

Ebenen der Parallelität

Aufbau eines Einprozessorsystems

Von-Neumann-Prinzip

Beschleunigung des Ablaufs: Pipelining

Schleifen Optimierung

Pipeline-Konflikte

Abhängigkeitsanalyse

Aufbau eines Vektorrechner

Aufbau eines Vektorrechners?

Beispiel: SSE-Erweiterung des Intel Pentium 4

Abhängigkeitsanalyse und Vektorisierung

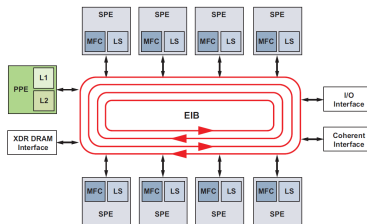
Vektorisierung rekursiver Probleme

Leistungsanalyse - Maßzahlen eines Vektorrechners

Ebenen der Parallelität

Parallele Programme lassen sich nach der Granularität ihre Parallelität klassifizieren und Rechnertypen gegenüberstellen, welche durch ihre Hardware die entsprechende Ebene unterstützen.

- Suboperationsebene
 - Vektorrechner (z. B. NEC-SX, Cray-SV)
 - Feldrechner (z. B. MasPar-Rechner)
 - Cell-Processor
 - SSE[1 – 4]
 - ...
- Anweisungsebene
 - Superskalarrechner (z. B. Workstation/PC)
 - VLIW-Rechner (very long instruction word) (z. B. Itanium)
 - Pipeline-Architekturen
 - ...



ILP – Instruction Level Parallelism

- Blockebene (Threads)
 - Shared-Memory-Rechner (z. B. SUN-UltraSparc, SGI-Altix)
 - ...
- Prozessebene
 - Distributed-Memory-Rechner (Cray-T3E, IBM-SP)
 - ...
- Programmebene
 - Workstation-Cluster
 - Grid-Computer
 - ...

Klassifikation nach Flynn

- Betrachte: **Befehlsstrom** und **Datenstrom**
- Ein Rechner bearbeitet zu einem Zeitpunkt einen oder mehrere Befehle
- Ein Rechner bearbeitet zu einem Zeitpunkt einen oder mehrere Datenwert

SISD Einprozessorsystem	SIMD Vektorrechner Feldrechner
MISD	MIMD Multiprozessorsysteme

Outline

Ebenen der Parallelität

Aufbau eines Einprozessorsystems

Von-Neumann-Prinzip

Beschleunigung des Ablaufs: Pipelining

Schleifen Optimierung

Pipeline-Konflikte

Abhängigkeitsanalyse

Aufbau eines Vektorrechner

Aufbau eines Vektorrechners?

Beispiel: SSE-Erweiterung des Intel Pentium 4

Abhängigkeitsanalyse und Vektorisierung

Vektorisierung rekursiver Probleme

Leistungsanalyse - Maßzahlen eines Vektorrechners

Von-Neumann-Prinzip

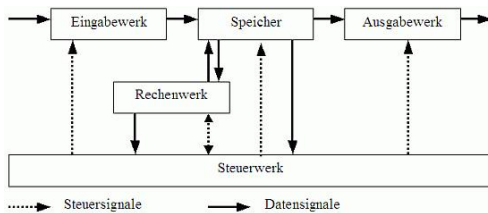


Figure: Aufbau des Von-Neumann-Rechners



IF: instruction fetch
 DEC: instruction decode
 register fetch
 EXEC: execution
 effective address
 branch output
 MEM: memory access
 branch completion
 WB: write back

Figure: Phasen des Befehlszyklus

Pipelining

- Instruktion Pipelining: Überlappende Ausführung von unabhängigen Befehlen
- Erhöhung des Instruktionsdurchsatzes
- Bei einer Pipeline mit k Stufen wird nach einer **Einschwingzeit**, ab dem Systemzyklus k zu jedem Takt ein Ergebnis geliefert.

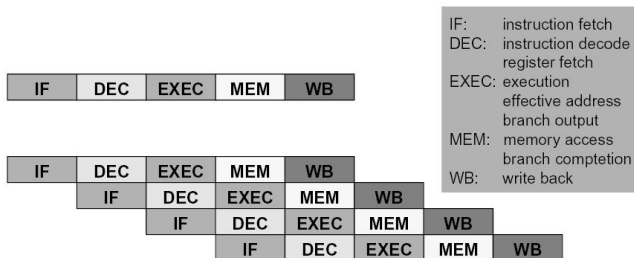


Figure: Befehlsausführung ohne und mit Pipelining

Arithmetisches Pipelining

Beispiel: Fließkomma-Addition in vier Schritten

Arithmetisches Pipelining

Beispiel: Fließkomma-Addition in vier Schritten

- Ein Paar Gleitpunktzahlen aus dem Vektorregister laden,
- die Exponenten vergleichen und eine der Mantissen verschieben,
- die ausgerichteten Mantissen addieren und
- das Ergebnis normalisieren und in ein Register zurückschreiben.

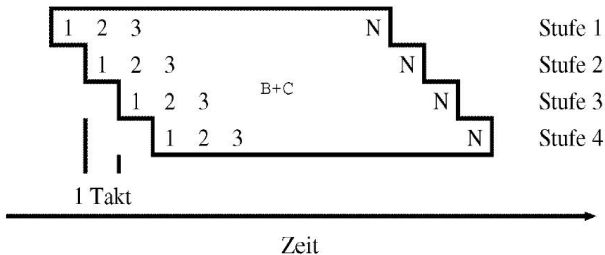


Figure: Zeitl. Verlauf einer Vektoroperation in einer Pipeline

Code-Optimierungen für Pipelining

- loop unrolling

```
for (i=0; i<3; i++) {
    for (k=0; k<m; k++) {
        c[i,k]=a[i,k]*b[i,k];
    }
}

for (k=0; k<m; k++) {
    c[0,k]=a[0,k]*b[0,k];
    c[1,k]=a[1,k]*b[1,k];
    c[2,k]=a[2,k]*b[2,k];
}
```

- loop fusion

```
for (i=0; i<n; i++) {
    d[i]=d[i-1]*e[i];
}

for (i=0; i<n; i++) {
    f[i]=f[i]+c[i-1];
}

for (i=0; i<n; i++) {
    d[i]=d[i-1]*e[i];
    f[i]=f[i]+c[i-1];
}
```

- Weitere Optimierungen siehe **Intel C++ Compiler User Guide**

Pipeline - Konflikte

- **Strukturkonflikte:** Parallele Abarbeitung durch Limiterung der Hardware eingeschränkt (z.B. gleichzeitiger Speicherzugriff in “Instruktion Fetch”– und “Memory Access” – Phase)
- **Steuerkonflikte:** Verursacht durch Sprünge im Code
⇒ Branchprediction, spekulative Ausführung
- **Datenkonflikte:** Datenkonflikte werden durch Datenabhängigkeiten verursacht.

Der Compiler bzw. Hardware zur Laufzeit müssen diese Konflikte erkennen und beheben können.

Abhängigkeitsanalyse

$$S1: A = C - A$$

$$S2: A = B - C$$

$$S3: B = A + C$$

- echte Abhängigkeit (true dependence) (z.B. **S3** bzgl. **S2** für **A**)
 - **S2** zeigt eine true dependence bzgl. **S1**, $S2 \delta S2$,
wenn $OUT(S1) \cap IN(S2) \neq \emptyset$;
 \Rightarrow **S2** benutzt das Ergebniss von **S1**
- Gegenabhängigkeit (anti dependence) (z.B. **S3** bzgl. **S2** für **B**)
 - **S2** zeigt eine anti dependence bzgl. **S1**, $S2 \delta^{-1} S2$,
wenn $IN(S1) \cap OUT(S2) \neq \emptyset$;
 \Rightarrow werden **S2** und **S1** vertauscht, so wird **S1** fälschlicher
Weise das Ergebniss von **S2** benutzen

Abhängigkeitsanalyse

$$S1: A = C - A$$

$$S2: A = B - C$$

$$S3: B = A + C$$

- Ausgabeabhängigkeit (output dep.) (z.B. **S2** bzgl. **S1** für **A**)
 - **S2** und **S1** zeigen eine **output dependence**, **S2** δ^O **S2**, wenn **OUT(S1) \cap OUT(S2) $\neq \emptyset$** ;
 \Rightarrow werden **S2** und **S1** vertauscht, so enthält die Zuweisungsvariable bei Wiederverwendung den falschen Wert

Die Abhängigkeitsanalyse gibt Aufschluss darüber, ob eine Pipeline-Arbeitung bzw. Vektorisierung möglich ist.

Outline

Ebenen der Parallelität

Aufbau eines Einprozessorsystems

Von-Neumann-Prinzip

Beschleunigung des Ablaufs: Pipelining

Schleifen Optimierung

Pipeline-Konflikte

Abhängigkeitsanalyse

Aufbau eines Vektorrechner

Aufbau eines Vektorrechners?

Beispiel: SSE-Erweiterung des Intel Pentium 4

Abhängigkeitsanalyse und Vektorisierung

Vektorisierung rekursiver Probleme

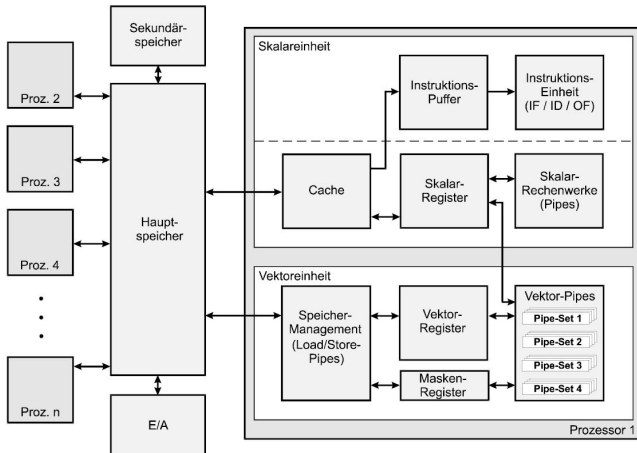
Leistungsanalyse - Maßzahlen eines Vektorrechners

Aufbau eines Vektorrechner

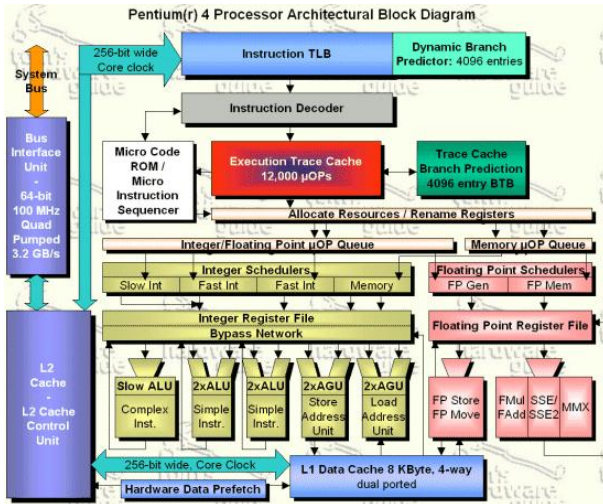
- Was ist ein Vektorrechner?

- Einen Rechner mit **pipelineartig** aufgebautem/n Rechenwerk/en, der **Arrays** von Gleitpunktzahlen verarbeitet.
- **Vektor** = Array (Feld) von Gleitpunktzahlen.
- **Vektorbefehle** werden auf ganze Vektoren angewendet, die in **Vektorregistern** gespeichert sind.
- Ein Vektorrechner enthält neben der Vektoreinheit auch noch eine oder mehrere **Skalareinheiten**. Dort werden die skalaren Befehle parallel zu den Vektorbefehlen ausgeführt.

Prinzipskizze eines Vektorprozessors



Beispiel: SSE-Erweiterung des Intel Pentium 4



SSE-Register

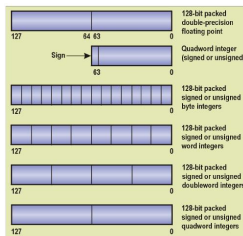


Figure: Streaming SIMD Extensions data types

- Streaming SIMD Extension (SSE)
 - 8 Register (xmm0 bis xmm7), je 128 bit breit
 - halten 2 double-precision floating point Werte (je 64 bit)
 - halten 4 single-precision floating point Werte (je 32 bit)
 - halten 2 64-bit integer Werte bis zu 16 8-bit Werte

Automatische Vektorisierung

```
#pragma vector always
#pragma ivdep
for(i=1;i<n;i++) {
    c[i]=s*c[i];
}
```

Intel Compiler Pragmas für IA-32 Vektorisierung:

- `#pragma vector always` \Rightarrow Vektorisierung unabhängig von der Effizienzeinschätzung des Compilers.
- `#pragma ivdep` \Rightarrow Vektorisierung unabhängig von der Abhängigkeitsanalyse den Compilers

Informationen zu SSE2, Vektorisierung

- Intel Architecture Optimization Reference Manual
- Intel C++ Compiler User's Guide

Abhängigkeitsanalyse und Vektorisierung

- Schleife I

```
for (i=0; i<n; i++) {  
    a[i]=b[i]+c[i]  
}
```

Keine Abhängigkeiten zwischen den einzelnen Iterationen \Rightarrow
kann optimal in einer Pipeline ausgeführt werden.

- Schleife II

```
for (i=1; i<n-1; i++) {  
    c[i]=c[i]*c[i-1];  
}
```

REKURSION! c_{i-1} ist beim Zugriff noch in der Pipeline \Rightarrow keine

Vektorisierung rekursiver Probleme

- Summation ohne Hardwareunterstützung

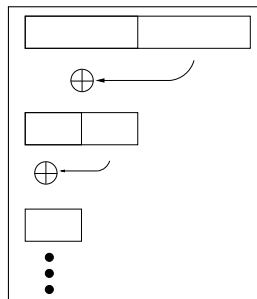


Figure: Cascade-Method:
Vektorisierung der Summation

```
s=a[0];
for (i=1;i<n;i++) {
    s=s+a[i];
}
```

- divide and conquer** Strategie: Addiere die zweite Hälfte des Vektors zur Ersten.
- Setze dieses Prinzip jeweils mit der ersten Hälfte fort,
- bis das erste Element die Summe enthält.

Vektorisierung rekursiver Probleme

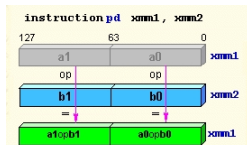
- Lineare Rekursion erster Ordnung

$$x_1 = a_1; \quad x_i = a_i + b_i \cdot x_{i-1}, \quad i = 2 \dots n \quad (1)$$

- **Recursive Doubling** (vorgestellt von H.S. Stone 1975) z. B. beschrieben in [1] \Rightarrow Nicht effizient!
- **Cyclic Reduction** (vorgestellt von R.W. Hockney) und z. B. in [2] beschrieben
- **partition method** vorgestellt in [3] z. B. in [4] beschrieben \Rightarrow Meist effizienteste Methode!

SSE2 Intrinsic Functions

- `__m128i; __m128d; //Register-Variablen`
- `__m128d _mm_instr_pd(__m128d a, __m128d b)`
- suffixes:
 - **ps,pd** → packed single- und double-precision floating point Funktionen
 - **ss,sd** → scalar single- und double-precision floating point Funktionen
 - ...
- alle Funktionen findet man in der "Intel C++ Intrinsic Reference" im **Intel C++ Compiler User's Guide**



Beispiel Code mit SSE2 Intrinsic Functions

```
#include <emmintrin.h>

int sse_add(int length, double* a,
            double* b, double* c) {
    int i;
    __m128d t0,t1;

    for (i = 0; i < length; i +=2) {
        // lädt 2 64-bit-double-Werte
        t0 = _mm_load_pd(a[i]);
        t1 = _mm_load_pd(b[i]);
        // addiert 2 64-bit-double-Werte
        t0 = _mm_add_pd(t0,t1);
        // speichert 2 64-bit-double-Werte
        _mm_store_pd(c[i],t0);
    }
}
```

Outline

Ebenen der Parallelität

Aufbau eines Einprozessorsystems

Von-Neumann-Prinzip

Beschleunigung des Ablaufs: Pipelining

Schleifen Optimierung

Pipeline-Konflikte

Abhängigkeitsanalyse

Aufbau eines Vektorrechner

Aufbau eines Vektorrechners?

Beispiel: SSE-Erweiterung des Intel Pentium 4

Abhängigkeitsanalyse und Vektorisierung

Vektorisierung rekursiver Probleme

Leistungsanalyse - Maßzahlen eines Vektorrechners

Leistungsanalyse - Maßzahlen eines Vektorrechners

- Der **Durchsatz** D einer Pipeline mit k Stufen und der **Taktzyklusdauer** τ ergibt sich, bei der Verarbeitung von n Elementen über den Zeitraum $t = T \cdot \tau$ ($T = \#Takte$), zu

$$D = \frac{n}{T \cdot \tau}. \quad (2)$$

Mit

$$T = k + (n - 1) \quad (3)$$

ergibt sich

$$D = \frac{n}{(k + (n - 1)) \cdot \tau} = \frac{1}{\left(\frac{k}{n} + \left(1 - \frac{1}{n}\right)\right) \cdot \tau} \xrightarrow{n \rightarrow \infty} \frac{1}{\tau}. \quad (4)$$

Damit ist der maximale Durchsatz einer Pipeline $D_{max} = \frac{1}{\tau}$.

- Die Hälfte des maximalen Durchsatzes wird bei der Vektorlänge $n := n_{1/2}$ erreicht. $n_{1/2}$ wird als **Half-performance length** bezeichnet.

Mit

$$\frac{D_{max}}{2} = \frac{1}{2 \cdot \tau} = \frac{n_{1/2}}{(k + (n_{1/2} - 1)) \cdot \tau} \quad (5)$$

folgt

$$n_{1/2} = k - 1 . \quad (6)$$

Neben der Einschwingzeit muss auch die **Startzeit** s betrachtet werden. In der Startzeit werden Vektorbefehle decodiert, Adressen für das erste und letzte Feld der Vektoren berechnet, die Operanden geladen usw. . Damit wird (3) zu

$$T = k + (n - 1) + s . \quad (7)$$

In der Praxis wird die Startzeit und die Einschwingzeit unter der Half-performance length zusammengefasst. Für die Ausführungszeit $t(n)$ ergibt sich

$$t(n) = T \cdot \tau = (k + (n - 1) + s) \cdot \tau = (n + n_{1/2})\tau \quad (8)$$

Floatingpoint-Leistung

Die Floatingpoint-Leistung (Performance) R eines (Vektor-)Rechners ist

$$R = \frac{\text{Zahl der Floatingpoint-Operationen}}{\text{Ausführungszeit}} . \quad (9)$$

Wird die effektive Zykluszeit berücksichtigt, ergibt sich mit (8)

$$R(n) = \frac{n}{(n + n_{1/2})\tau_{eff}} = \frac{1}{\tau_{eff}} \cdot \frac{1}{1 + \frac{n_{1/2}}{n}} . \quad (10)$$

Im Grenzwert $n \rightarrow \infty$ gilt

$$R_{\infty} = \frac{1}{\tau_{eff}} . \quad (11)$$

Der Grenzwert R_∞ wird als **Real Peak Performance** bezeichnet. R_∞ kann in der Praxis nicht gemessen werden daher ist es sinnvoll die **Maximal Performance** R_{max} als maximal gemessene Leistung einzuführen. Dabei muss $n \gg n_{1/2}$ gelten. Damit ist τ_{eff} mit

$$\tau_{eff} = \frac{1}{R_\infty} \approx \frac{1}{R_{max}} \quad (12)$$

gegeben. Die Leistung wird normalerweise in **FLOPS** und die Zykluszeit in **nsec** angegeben.

Weiterführende Links:

www <http://www.netlib.org/benchweb/hpc.html>

www <http://www.scl.ameslab.gov/Publications/Gus/TwelveWays.html>

www <http://docs.cray.com>

Dokument S-2312-36: "Cray SV1 Application Optimization Guide".

- Ein ausführliches Kapitel über Schleifen-Optimierung findet sich z.B. in [5].



SCHÖNAUER, W.:

Scientific Computing on Vector Computers.

Amsterdam : North-Holland, 1987



HOCKNEY, R.W. ; JESSHOPE, C.R.:

Parallel Computers 2.

Adam Hilger, 1988. –

Ein Klassiker!



VAN DER VORST, H.A. ; DEKKER, K.:

Vectorization of linear recurrence relations.

In: *SIAM J. Sci. Stat. Comput.*

10 (1989), Nr. 1, S. 27–35



SCHÖNAUER, W.:

Scientific Supercomputing.

Karlsruhe : Schönauer, 2000. –

Anwendungs bezogenes Vorlesungsskript, das lange Zeit handschriftlich (!) im Web zu finden war. Sehr empfehlenswert! . –

ISBN 3–00–005484–7



DOWD, Kevin ; SEVERANCE, Charles:
High Performance Computing.

O'Reilly, 1998. –

Ein Buch für Praktiker! Optimierter Speicherzugriff, Schleifen-Optimierung und Benchmarking sind nur einige Themen aus dem breiten Vorrat, den dieses Buch bereit hält. –

ISBN 3–931216–76–4